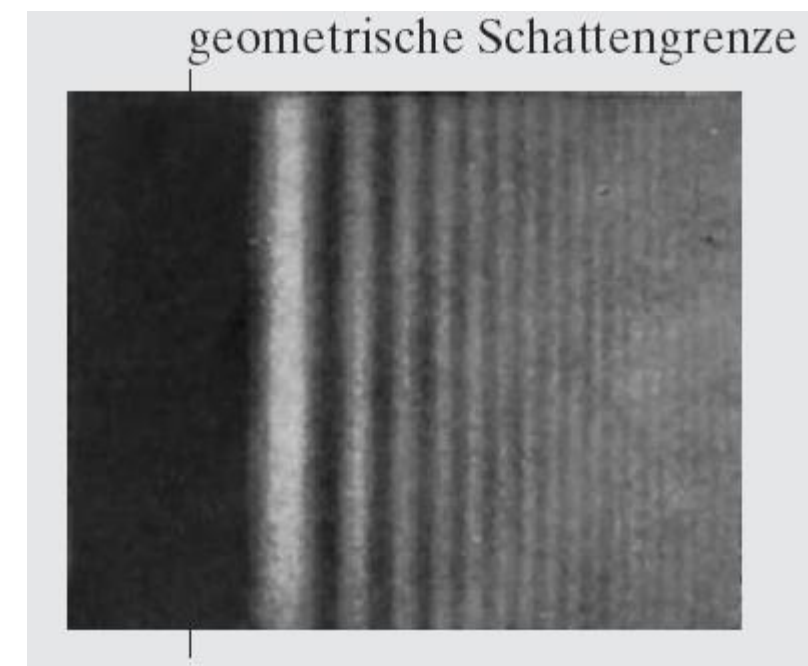


$$U_p = C \int_{x_1}^{x_2} \int_{y_1}^{y_2} e^{\frac{ik(x^2+y^2)}{2L}} dx dy$$

$$\int_0^s e^{i\pi \frac{w^2}{2}} dw = C(s) + iS(s)$$

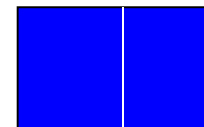
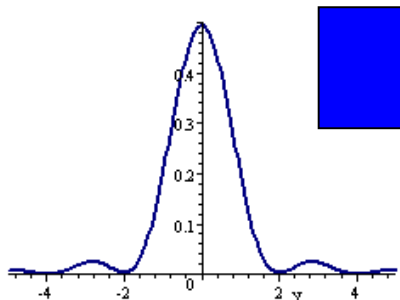
$$C(s) = \int_0^s \cos\left(\frac{\pi w^2}{2}\right) dw$$

$$S(s) = \int_0^s \sin\left(\frac{\pi w^2}{2}\right) dw$$

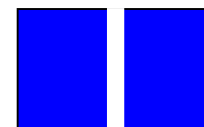
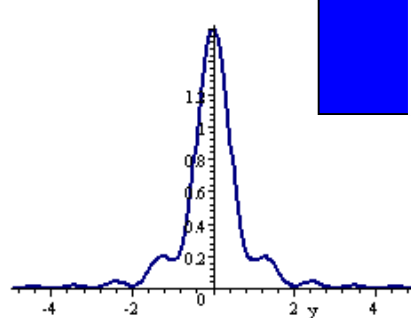


Weitere Beispiele:

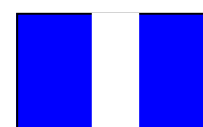
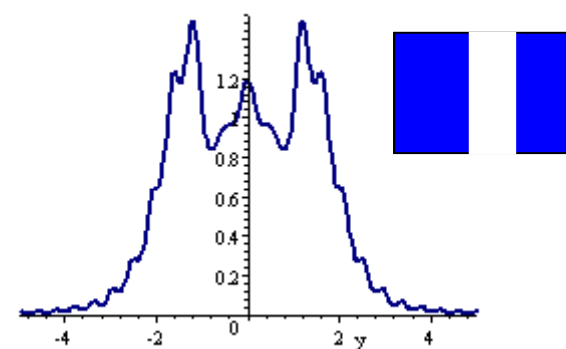
1. Spalt



Kleine Spaltöffnung



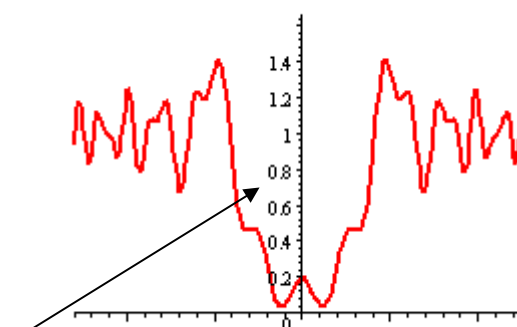
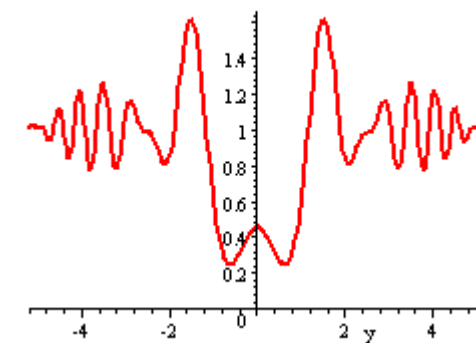
Übergang zu
Fresnel



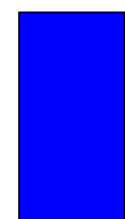
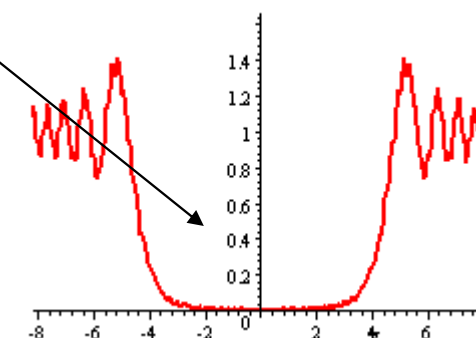
Zur Erinnerung:
Bedingung für Fraunhofer- Beugung

2. Balken

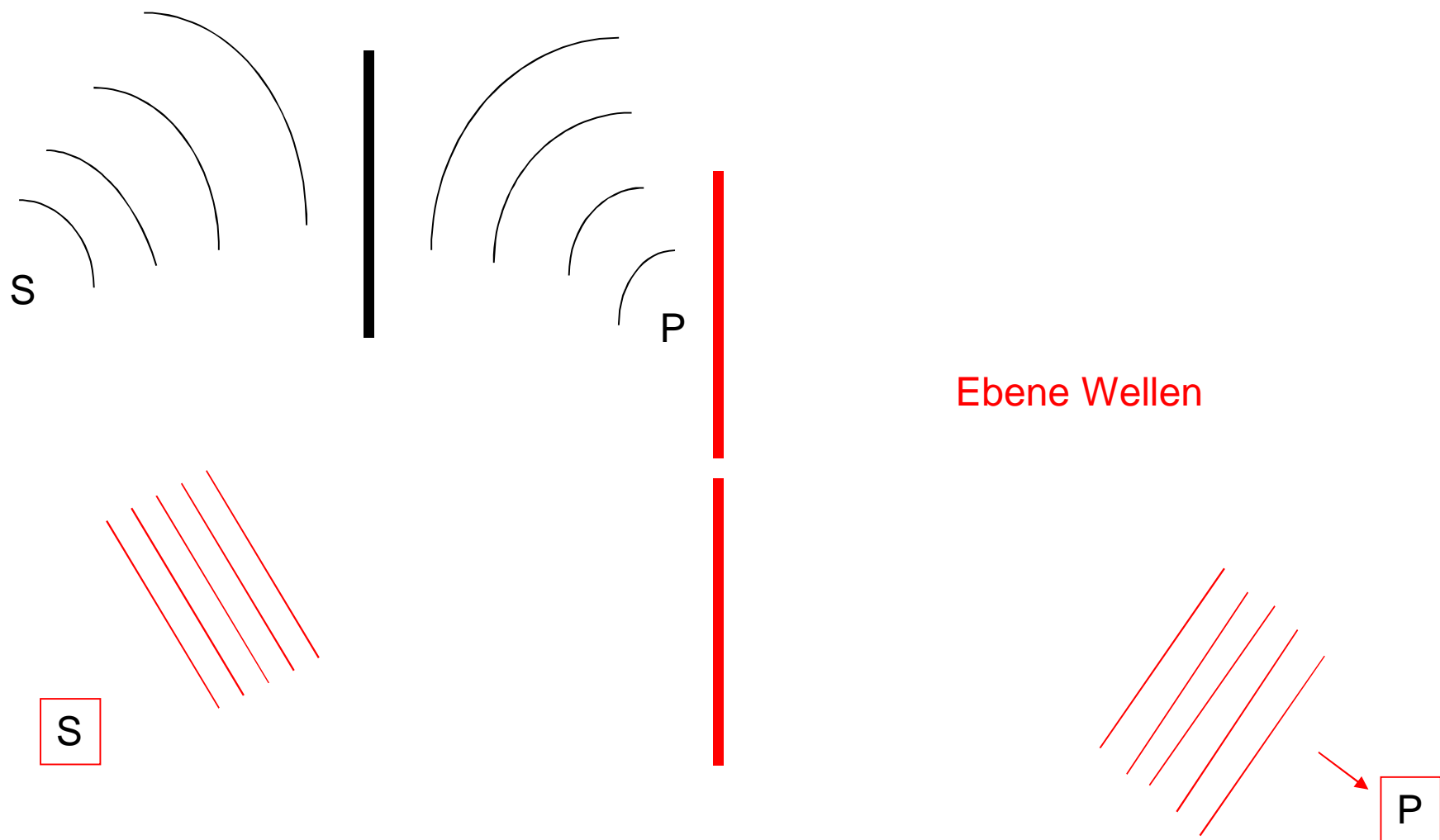
$$\frac{x'^2}{2D} \ll \lambda$$



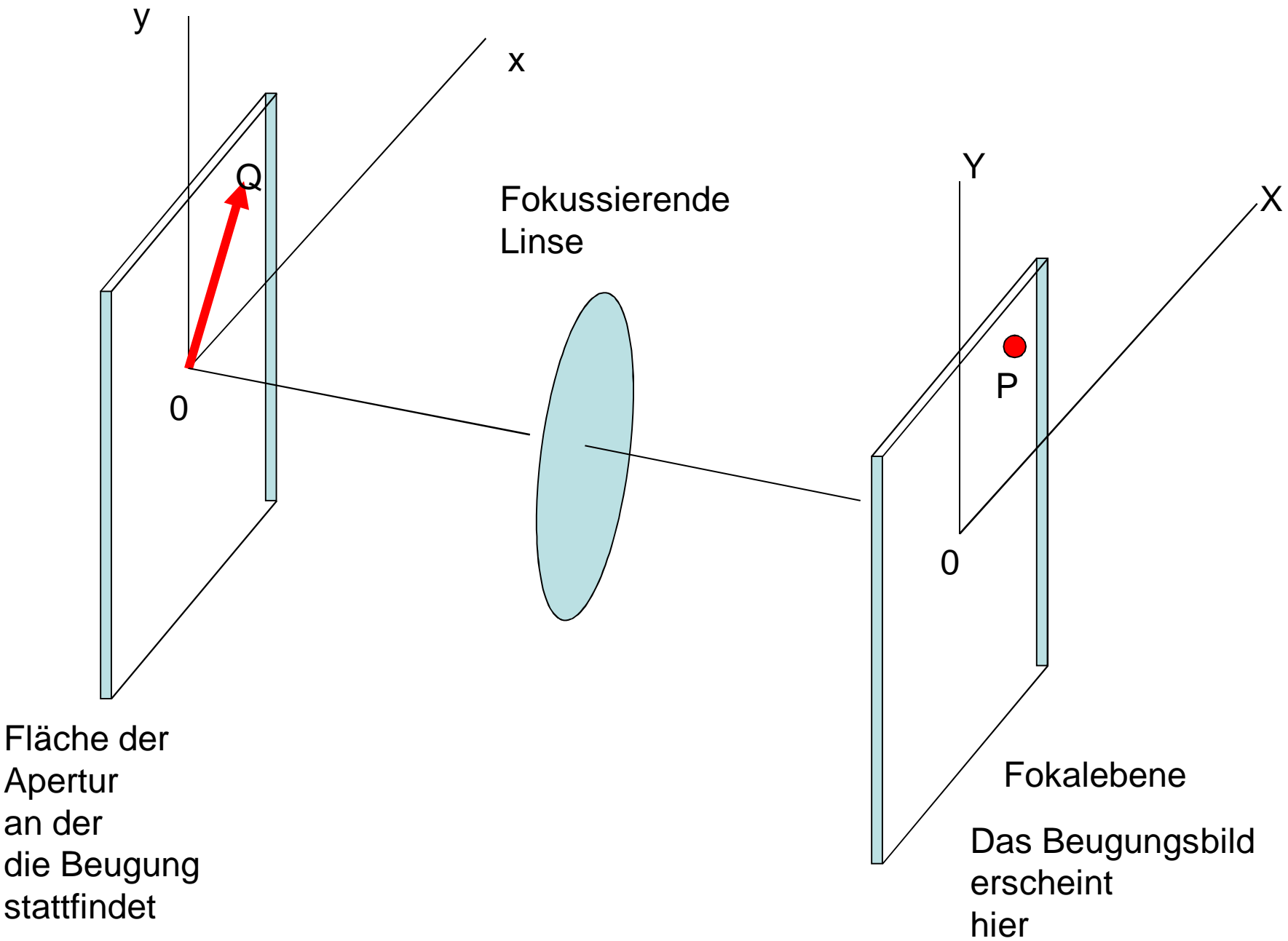
Schatten

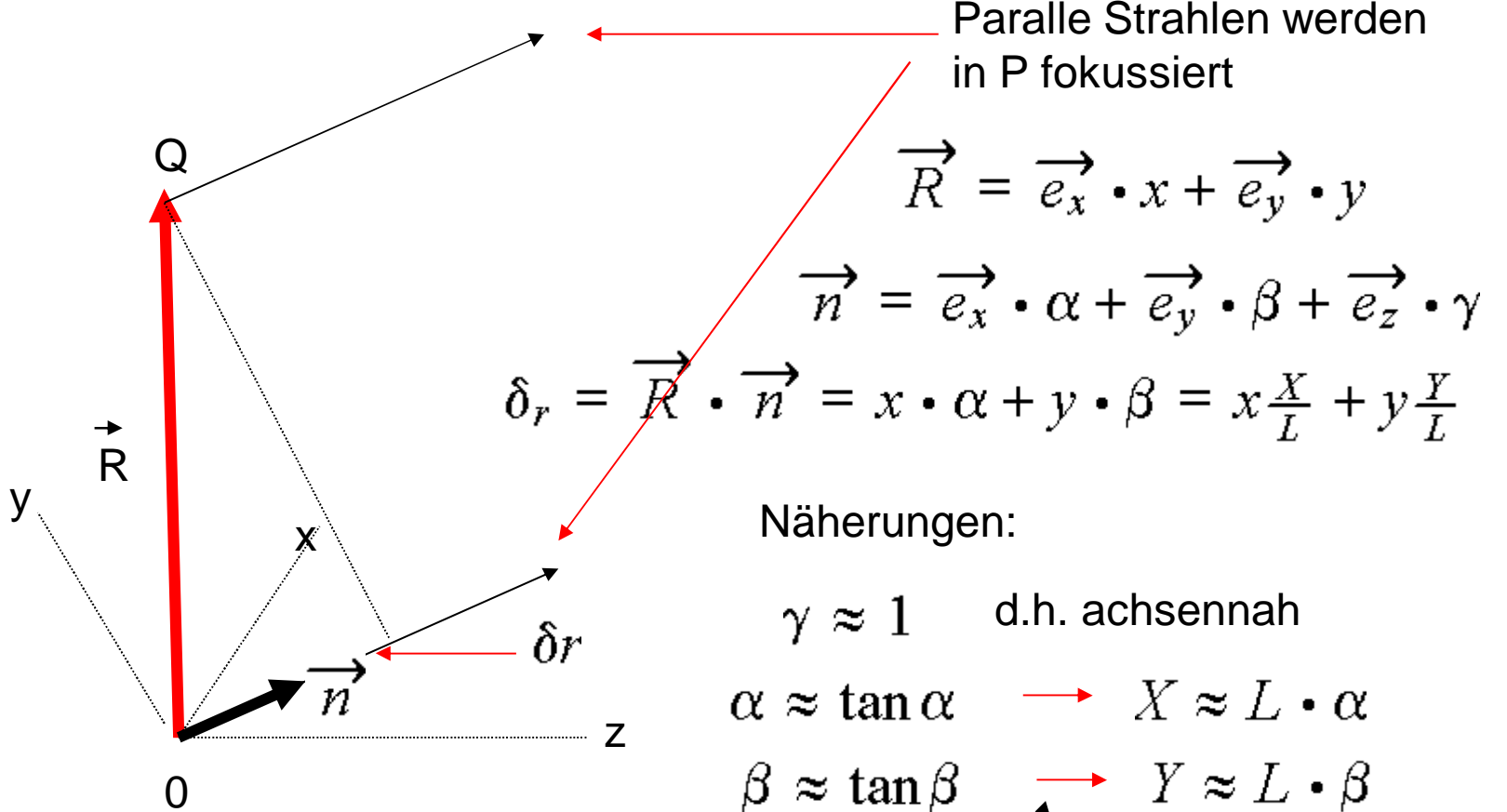


Fraunhofer-Fresnel Beugung



Fouriertransformation und Beugung





Kirchhoff: C=1

$$U(X, Y) = \iiint e^{ik\delta_r} dx dy = \iint e^{ik(x \frac{X}{L} + y \frac{Y}{L})} dx dy$$

Das ist für uniforme Apertur!

Für nicht uniforme Aperturen:

$$U(x, y) = \iint g(x, y) e^{ik(x \frac{X}{L} + y \frac{Y}{L})} dx dy$$

Modulation im Flächenelement!

Führt man als Abkürzung ein:

$$\mu = \frac{kX}{L}$$

Räumliche Frequenzen in x und y -Richtung

$$\nu = \frac{kY}{L}$$

$$U(\mu, \nu) = \int g(x,y) \exp(i\mu x + i\nu y) dx dy$$

2-dim. Fouriertransformation

Wichtige Beziehungen zwischen Fourier-Paaren $f(x) \leftrightarrow F(y)$

Seien $F(y), G(y)$ die Fouriertransformierten von $f(x), g(x)$

$$(\Delta x)^2 = \frac{\int_{-\infty}^{\infty} (x-x_0)^2 |f(x)|^2 dx}{\int_{-\infty}^{\infty} |f(x)|^2 dx}$$

$$(\Delta y)^2 = \frac{\int_{-\infty}^{\infty} (y-y_0)^2 |F(y)|^2 dy}{\int_{-\infty}^{\infty} |F(y)|^2 dy}$$

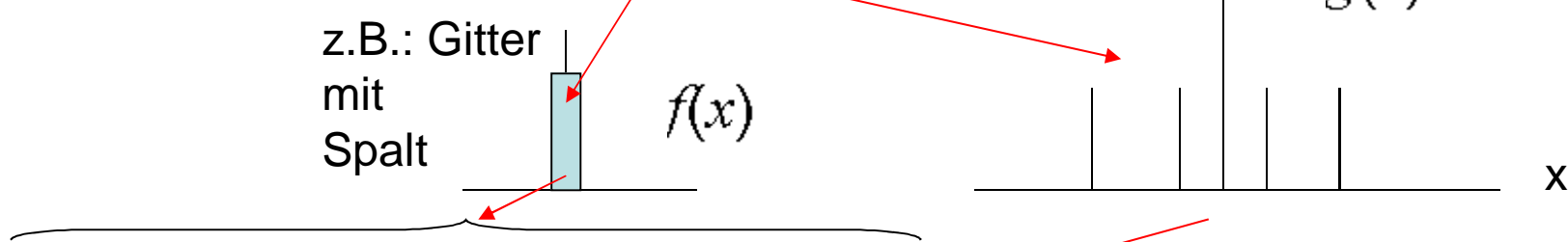
$$\Delta x \cdot \Delta y \geq \frac{1}{2}$$

Unschärferelation

Faltungs- und Multiplikationstheorem

Faltung

$$\langle f(x) \circledast g(x) \rangle = \int_{-\infty}^{\infty} f(x_1)g(x - x_1)dx_1$$



$$\mathcal{F}((\text{Heaviside}(0.2 - x)\text{Heaviside}(0.2 + x))) = -1.0i \frac{e^{-1.0 \exp(-0.2iw)} + \exp(0.2iw)}{w}$$

$$\mathcal{F}\left(\sum_{n=-2}^1 (\text{Dirac}\left(x - \frac{1}{2} - n\right))\right) = e^{\frac{3}{2}iw} + e^{\frac{1}{2}iw} + e^{-\frac{1}{2}iw} + e^{-\frac{3}{2}iw}$$

Weiter gilt: Multiplikationstheorem

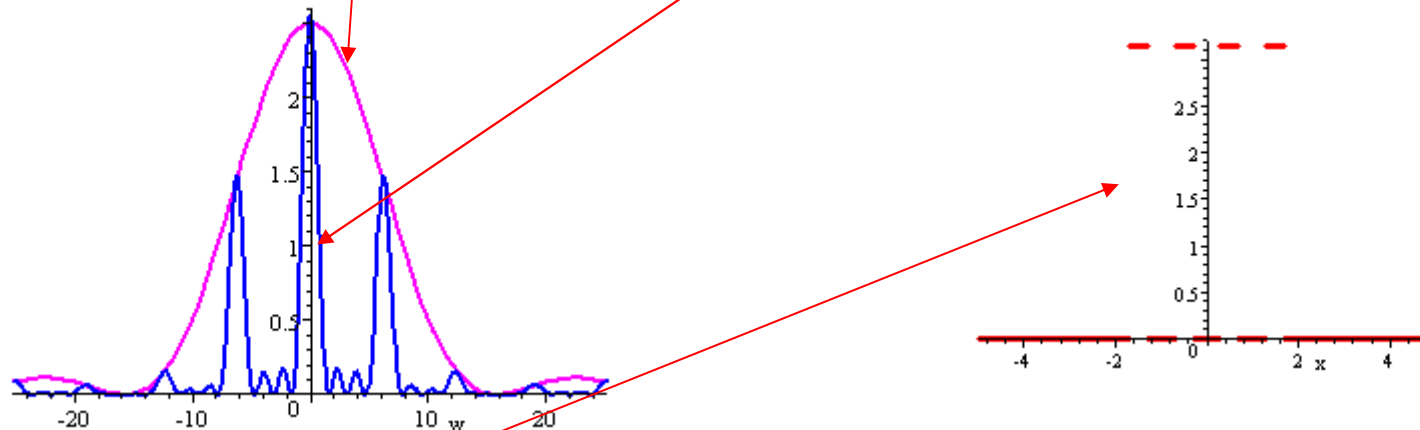
$$\langle f(x) \circledast g(x) \rangle \Leftrightarrow F(y)G(y)$$

Rücktransformation

$$\mathcal{F}^{-1}\left((-1.0i \frac{e^{-1.0 \exp(-0.2iw)} + \exp(0.2iw)}{w})\left(e^{\frac{3}{2}iw} + e^{\frac{1}{2}iw} + e^{-\frac{1}{2}iw} + e^{-\frac{3}{2}iw}\right)\right)$$

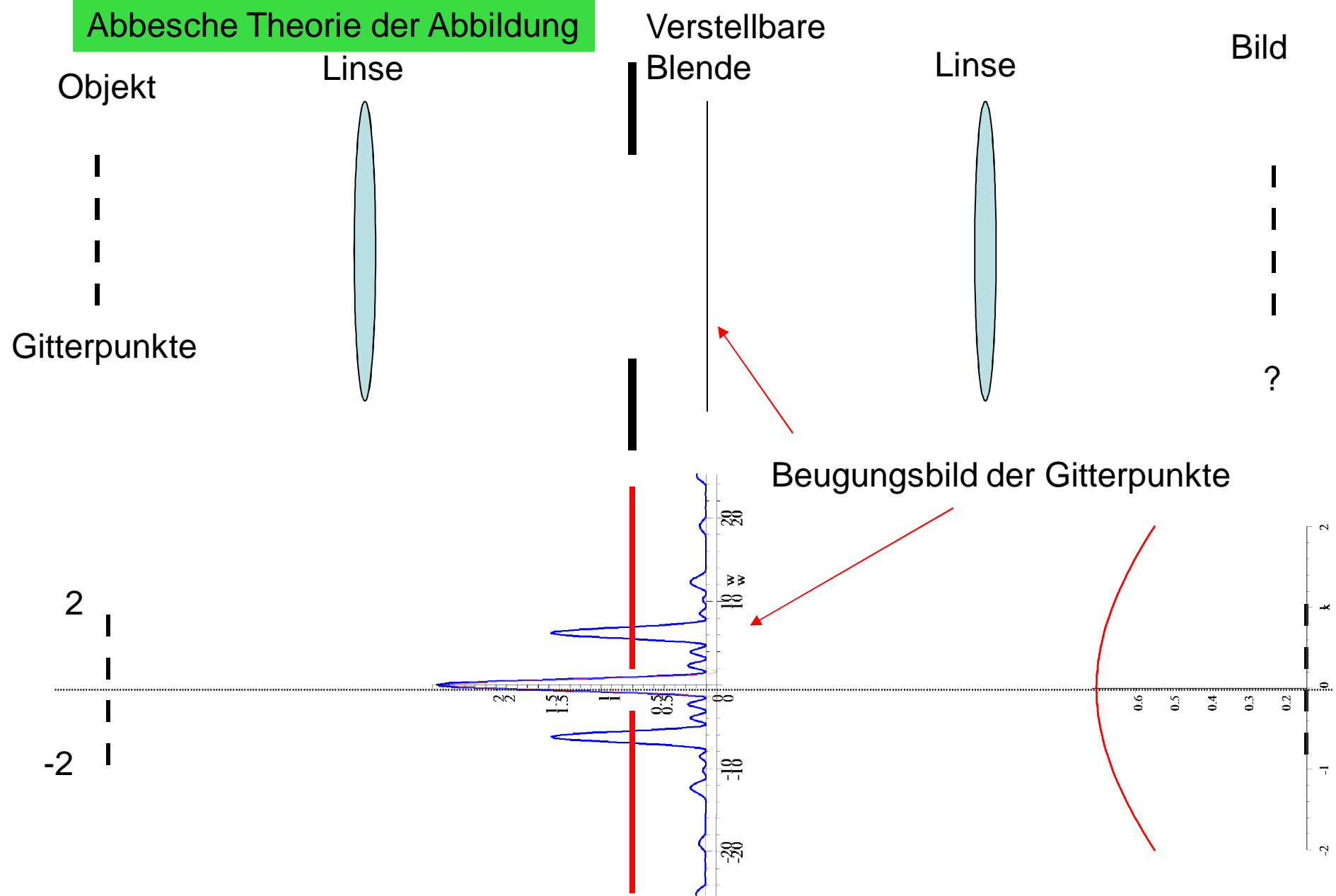
$$\left(\left(-1.0i \frac{-1.0 \exp(-0.2iw) + \exp(0.2iw)}{w} \right) \left(e^{\frac{3}{2}iw} + e^{\frac{1}{2}iw} + e^{-\frac{1}{2}iw} + e^{-\frac{3}{2}iw} \right) \right)$$

$$\left(\left(\frac{2 \cdot \sin(0.2w)}{w} \right) \cdot 2 \cdot \left(\cos\left(\frac{3}{2}w\right) + \cos\left(\frac{1}{2}w\right) \right) \right)^2$$



$$\mathcal{F}^{-1} \left(\left(-1.0i \frac{-1.0 \exp(-0.2iw) + \exp(0.2iw)}{w} \right) \left(e^{\frac{3}{2}iw} + e^{\frac{1}{2}iw} + e^{-\frac{1}{2}iw} + e^{-\frac{3}{2}iw} \right) \right)$$

Abbesche Theorie der Abbildung



Fazit:

Die 0.te Ordnung erscheint in Richtung des durchgehenden Lichts . Sie enthält keine Information über den Gitterabstand.

→ Es müssen höhere Ordnungen zugelassen werden.

Mit $n \cdot \lambda = h \cdot \sin \Theta$

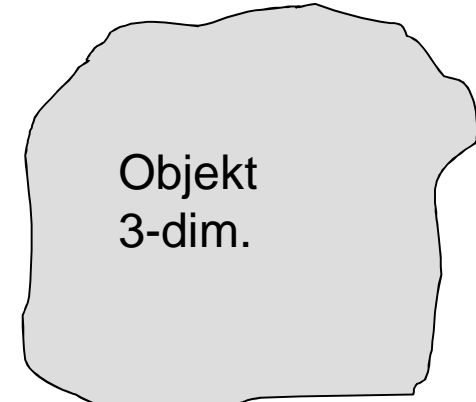
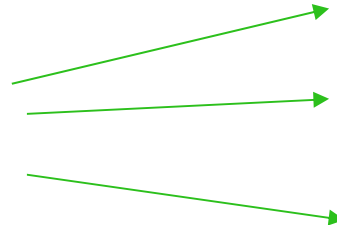


Gitterabstand

Abbildung um so schärfer je mehr Beugungsordnungen!

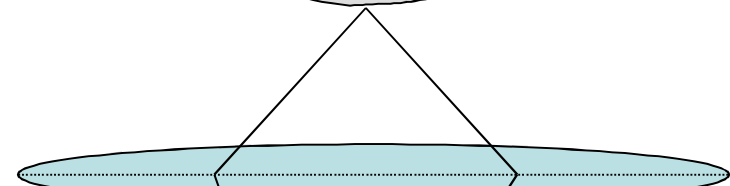
Abbildungen

Normalerweise Abbildungen:



Incohärentes
Licht

Dreidimensionales Objekt
→ zweidimensionale Projektion



Linse



Photoplatte

Holographie

Kohärentes Licht

Voraussetzung: Kohärentes Licht

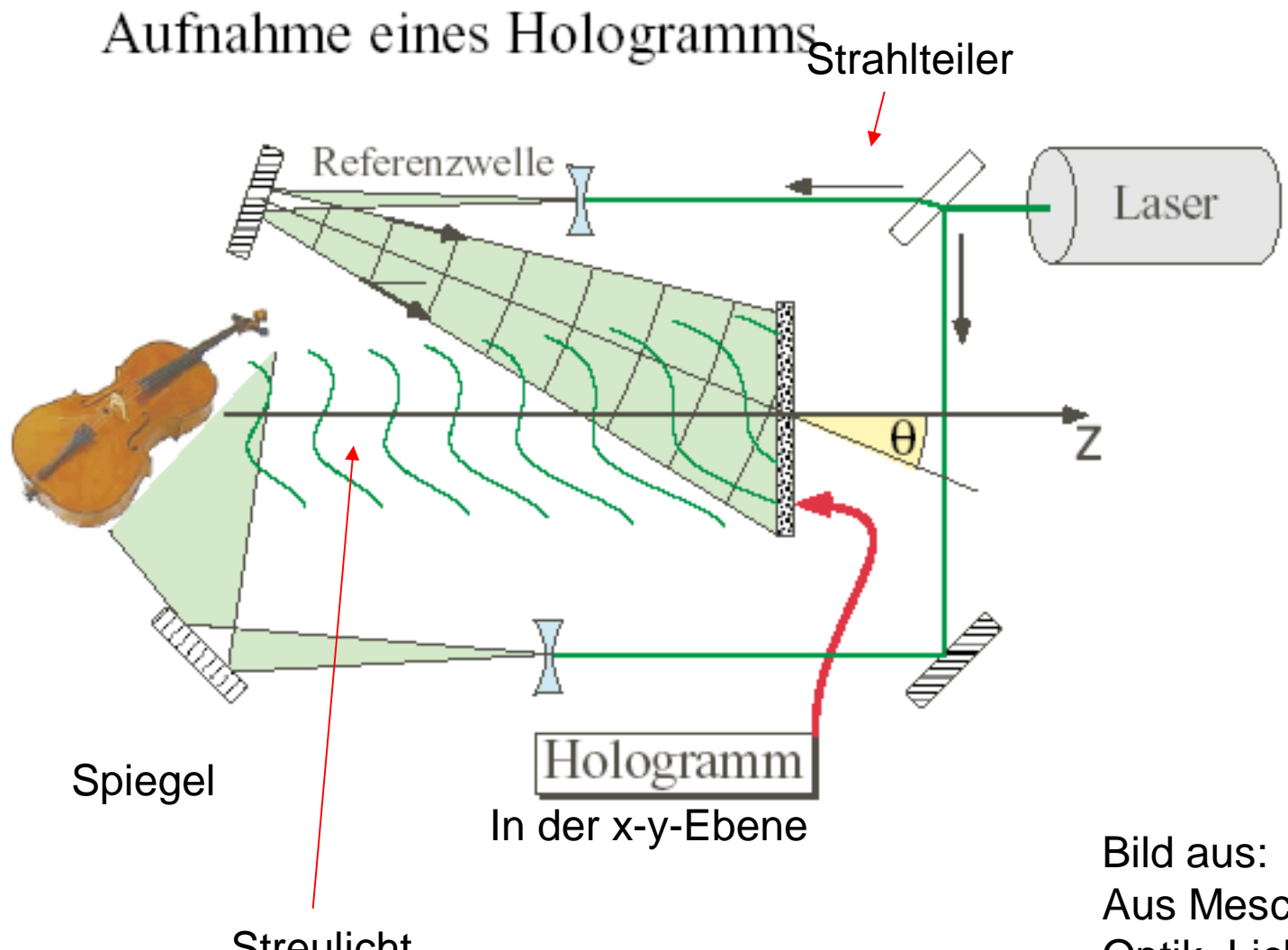


Bild aus:
Aus Meschede,
Optik, Licht und
LASER

Referenzwelle: $\vec{E}_0 = \vec{A}_0 \cdot e^{i(\omega t - \vec{k}_0 \cdot \vec{r})}$ Streulicht: $\vec{E}_S = \vec{A}_S \cdot e^{i(\omega t + \varphi_S(x,y))}$

Gesamtintensität auf der Photoplatte:

bei $r_0 = \{x, y, 0\}$

$$\begin{aligned} I(x,y) &= c \cdot \varepsilon_0 \mid E_s(x,y) + E_0(x,y) \mid^2 \\ &= c \cdot \varepsilon_0 \mid A_0^2 + A_S^2 + A_0^* \cdot A_S \cdot e^{i(\vec{k}_0 \cdot \vec{r} + \varphi_S)} + A_0 \cdot A_S^* \cdot e^{-i(\vec{k}_0 \cdot \vec{r} + \varphi_S)} \mid \\ &= c \cdot \varepsilon_0 \mid A_0^2 + A_S^2 + A_0 \cdot A_S \cdot \underbrace{\cos(\varphi_0 + \varphi_S)}_{\text{Phase bestimmt durch opt. Wegdifferenzen zwischen Referenz- und Streuwelle}} \mid \end{aligned}$$

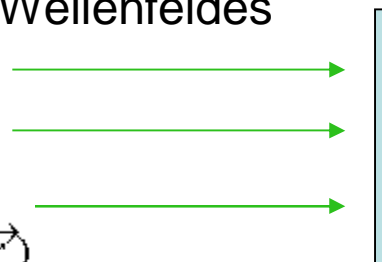
Hängt von der Entfernung vom Objekt ab!

Informationen über
3 Dimensionen

Rekonstruktion des Wellenfeldes

Rekonstruktionswelle:

$$\vec{E}_r = \vec{A}_r \cdot e^{i(\omega t - \vec{k}_r \cdot \vec{r})}$$



Hologrammschwärzung $\sim I(x,y)$

Transmittierte Amplitude:

$$A_T = T(x,y) \cdot A_r$$

$$A_T = T(x, y) \cdot A_r$$

$$T(x, y) = T_0 - \gamma \cdot I(x, y)$$

Transmission der entwickelten Platte:

$$A_T = A_r \cdot T_0 - \gamma \cdot A_r (A_0 + A_s)^2$$

Schwärzungskoeffizient
der Photoplatte

$$\sim \underbrace{-\gamma \cdot A_r \cdot A_0^* \cdot A_S \cdot e^{i(\vec{k}_0 \cdot \vec{r} + \varphi_S)}}_{\text{Neue Wellen:}} \sim \underbrace{-\gamma \cdot A_r \cdot A_0 \cdot A_S^* \cdot e^{-i(\vec{k}_0 \cdot \vec{r} + \varphi_S)}}$$

Neue Wellen:

$$E_{T_1} = -\gamma \cdot A_r \cdot A_0^* \cdot A_S \cdot e^{i(\omega t - (\vec{k}_r - \vec{k}_0) \cdot \vec{r} + \varphi_S)}$$

$$E_{T_2} = -\gamma \cdot A_r \cdot A_0^* \cdot A_S^* \cdot e^{i(\omega t - (\vec{k}_r + \vec{k}_0) \cdot \vec{r} - \varphi_S)}$$

In Richtung: $\vec{k}_1 = \vec{k}_r - \vec{k}_0$ $\vec{k}_1 = \vec{k}_r + \vec{k}_0$

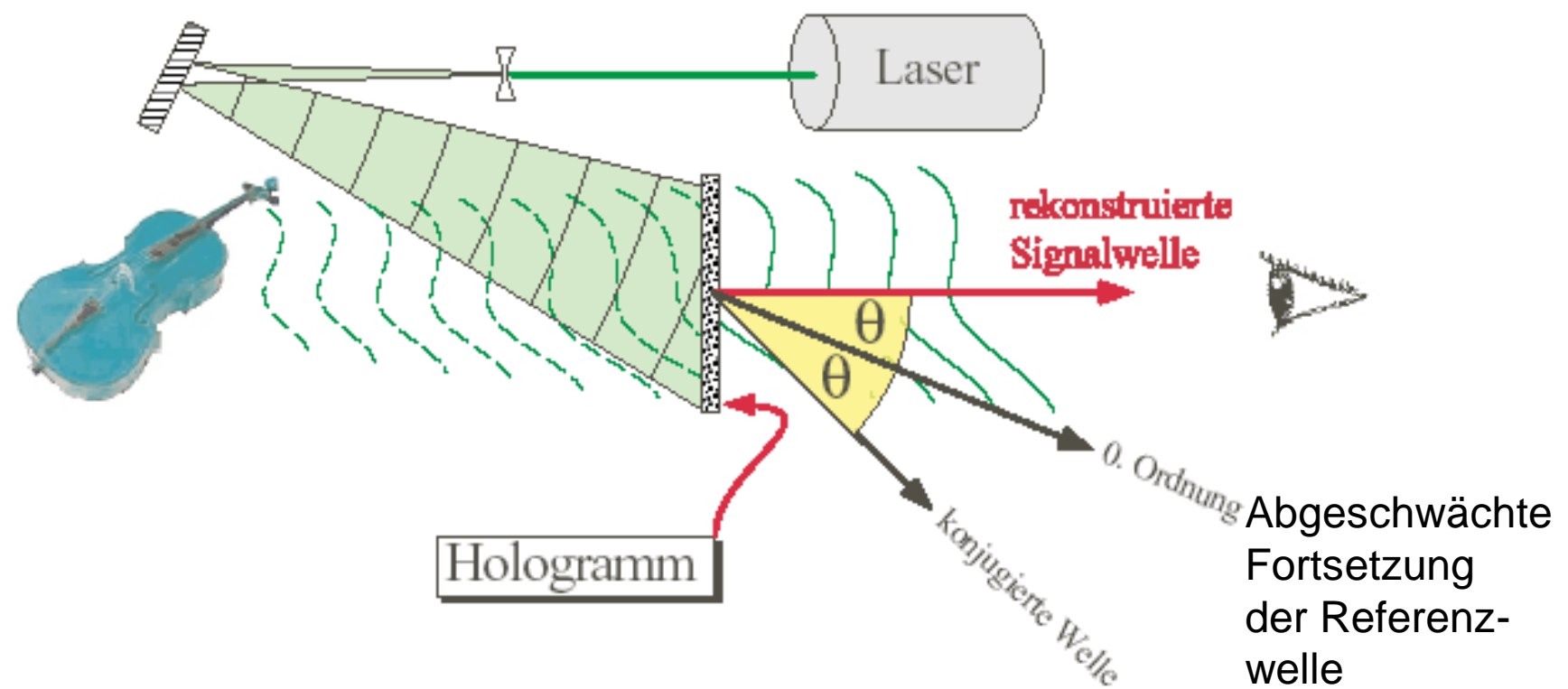
E_{T_1} und E_{T_2} tragen Information über A_S und φ_S

Rekonstruktion des Wellenfeldes

$$\vec{E}_r = \vec{A}_r \cdot e^{i(\omega t - \vec{k}_r \cdot \vec{r})}$$

Virtuelles
Bild

Reelles
Bild

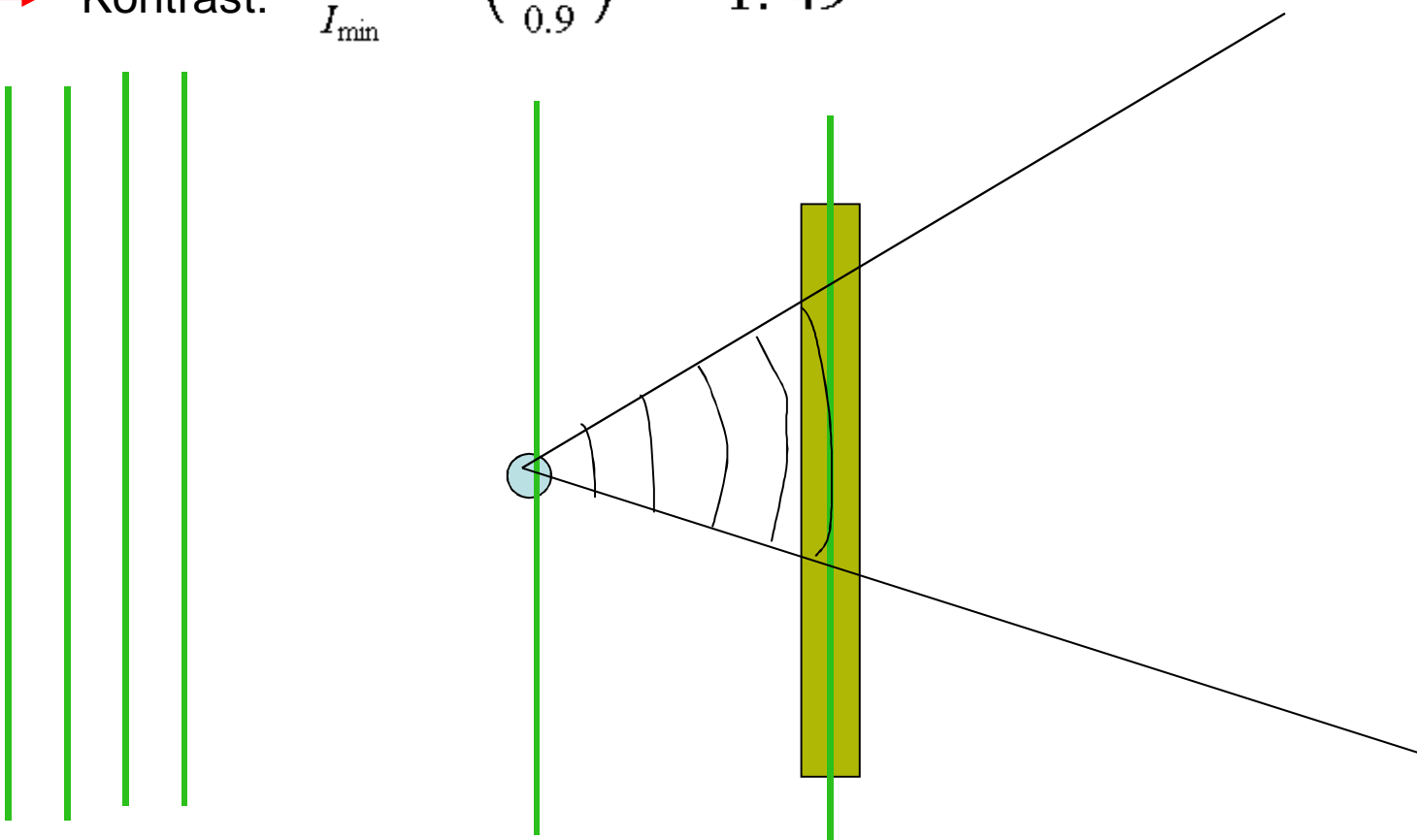


Kontrast:

Die Intensität der Wellen (ref. und streu) muss nicht gleich sein!

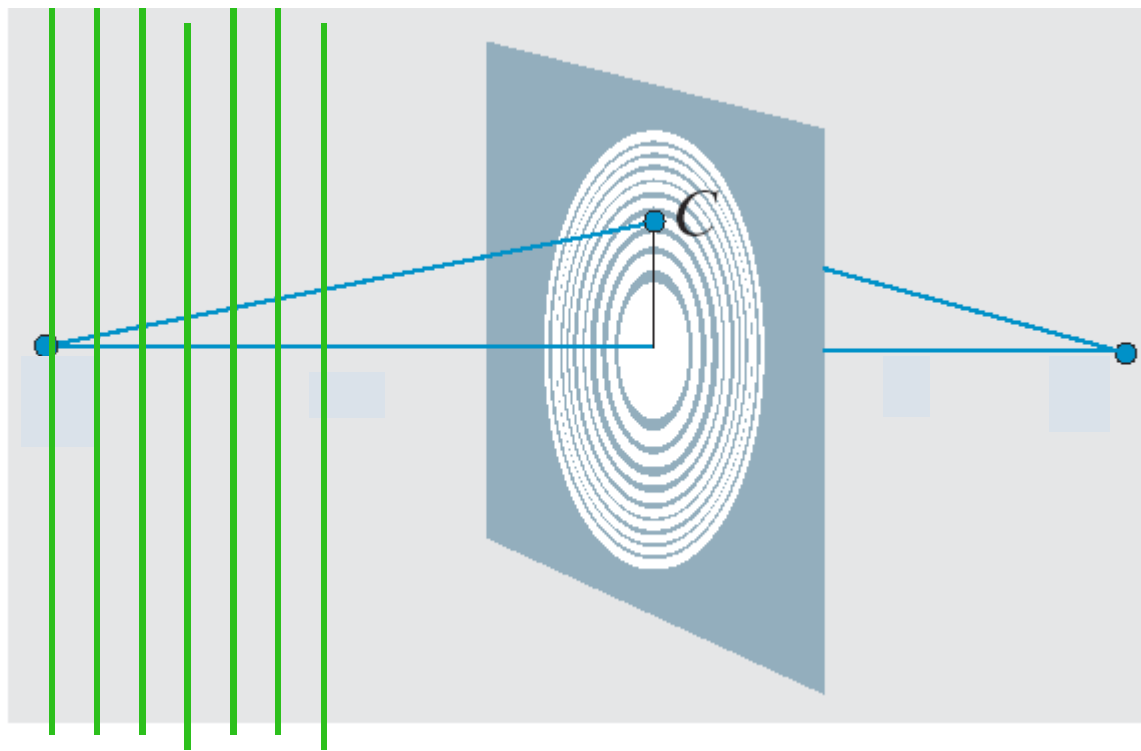
Ann.: Streuwelle $I_{\text{Streu}} = 1\% \cdot I_{\text{Ref}}$ $\longrightarrow \frac{E_{\text{Streu}}}{E_{\text{Ref}}} = 0.1$

\longrightarrow Kontrast: $\frac{I_{\max}}{I_{\min}} = \left(\frac{1.1}{0.9}\right)^2 = 1.49$



Ref. Welle

Platte geschwärzt wie Fresnel-Zonenplatte



Virtuelles Bild

+

Reelles Bild